

بهبودسازی چندمدی با الگوریتم جستجوی گرانشی به همراه تکنیک جایگاه‌یابی k-means و نخبه‌گرایی loop in Loop

محمد نورمحمدی زرده‌سوار، شهرام گلزاری، امین موسوی

چکیده

بشر برای حل مسائل خود، همواره به دنبال راه‌حلی بوده که هزینه کمتری داشته باشد. از این‌رو مسائل بهبودسازی، توجه محققان را به خود جلب نموده‌اند. از مهم‌ترین روش‌های برخورد با این مسائل، الگوریتم‌های تکاملی هستند که بیشتر آن‌ها از طبیعت الهام گرفته شده‌اند. الگوریتم جستجوی گرانشی یکی از الگوریتم‌های تکاملی می‌باشد که در برخورد با مسائل تک‌مدی کارایی خود را نشان داده است. برای موفقیت این الگوریتم در مسائل چندمدی، آن را با یکی از تکنیک‌های جایگاه‌یابی به نام K-means و تکنیک نخبه‌گرایی جدید loop in Loop ترکیب نموده‌ایم. کارایی این الگوریتم ترکیبی در بخش نتایج آزمایشگاهی مشاهده می‌شود.

کلمات کلیدی

جستجوی گرانشی، چند مدی، جایگاه‌یابی، K-means

۱- مقدمه

در طول تاریخ سعی بر این بوده است که نسل‌های جدید، نسبت به نسل‌های گذشته قوی‌تر باشند. در گیاهان و حیوانات هم با اصلاح نژاد سعی در ایجاد نسل‌های بعدی قوی‌تر شده است. این ایده به درون الگوریتم‌های مکاشفه‌ای تحت عنوان نخبه‌گرایی رخنه نموده و باعث تسریع همگرایی این-گونه الگوریتم‌ها گردیده است. NichePSO [3]، CBN [4]، SPSO [5]، MGPSO [6]، r2PSO [7]، r3PSO [7]، r2PSO-lhc [7]، FER-PSO [8]، Deterministic Crowding [7]، r3PSO-lhc [7]، Sequential Niche (SN) [10]، NGSA [11] برخی از الگوریتم‌های مطرح برای حل مسائل چند مدی می‌باشند. اکثر این الگوریتم‌ها، به پارامترها بسیار وابسته می‌باشند. در این پژوهش سعی گردیده با حذف این پارامترها و بالا بردن دقت در ارزیابی‌های کمتر، الگوریتمی موفق ارائه شود. در ادامه مفاهیم پایه به همراه الگوریتم پیشنهادی تشریح و نتایج قابل قبولی گزارش گردیده است.

۲- مفاهیم پایه

۲-۱- الگوریتم جستجوی گرانشی

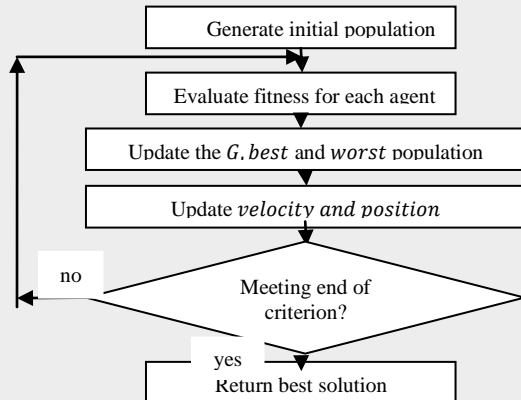
الگوریتم جستجوی گرانشی توسط راشدی و همکارانش بر اساس قانون گرانش نیوتن، ارائه گردید. در الگوریتم جستجوی گرانشی، عامل‌ها به صورت اجسامی هستند که یکدیگر را با نیروی گرانشی جذب می‌نمایند و این نیرو

بهبودسازی یک مسأله، یافتن بهترین جواب یا جواب‌ها در بین تمامی راه‌حل‌های ممکن برای آن مسأله می‌باشد. مسائلی که به دنبال چندین راه‌حل بهینه هستند، مسائل چندمدی^۱ نامیده شده و در مقابل آن مسائل تک‌مدی^۲ که فقط به دنبال یافتن تک جواب هستند وجود دارند. در دهه‌های اخیر، توجه بیشتری به الگوریتم‌هایی که از پدیده‌های طبیعی استفاده می‌نمایند شده است. الگوریتم‌های تکاملی برخلاف عملکرد مناسب در برخورد با مسائل تک‌مدی، در مسائل چندمدی چندان موفق نبوده‌اند. از این‌رو تکنیک‌های جایگاه‌یابی^۳ جهت کمک به الگوریتم‌های تکاملی در مسائل چندمدی ارائه گردیدند. یکی از الگوریتم‌های تکاملی کارا جهت یافتن بهینه‌ها، الگوریتم جستجوی گرانشی^۴ [1,2] است. در این پژوهش، از الگوریتم جستجوی گرانشی به همراه تکنیک جایگاه‌یابی K-means و تکنیک جدید نخبه‌گرایی^۵ به نام loop in Loop، برای حل مسائل چندمدی استفاده گردیده است. از دلایل انتخاب الگوریتم جستجوی گرانشی، یافتن بهینه‌های موجود با تکرار کمتر و فرار از بهینه‌های محلی و همچنین وابستگی کمتر به پارامترها می‌باشد. از میان تکنیک‌های خوشه‌بندی^۶، K-means به دلیل سادگی، موثر بودن و پیچیدگی زمانی کم برای تقسیم جمعیت اصلی به زیر جمعیت‌ها برگزیده شده است؛ به این ترتیب که اعضاء هر زیرجمعیت، همدیگر را در یافتن بهینه‌ها یاری می‌رسانند.

فلوچارت الگوریتم جستجوی گرانشی در شکل (۱) نشان داده شده است.

۲-۲- جایگاه یابی

در طبیعت همه جانداران به دنبال یافتن منابع غذایی می‌باشند. هر جاندار در نزدیک منابع غذایی خود زندگی می‌کند. از این رو طبیعت تقسیم‌بندی می‌شود. معمولاً در هر قسمت جانورانی از یک گونه وجود دارند که برای یافتن منابع غذایی با یکدیگر رقابت می‌کنند. از این فعل و انفعال طبیعت، مفهوم جایگاه‌یابی به ذهن محققان خطور کرد و از آن به عنوان راهی برای غلبه بر مسائل چند-مدی استفاده گردید. یکی از روش‌های مطرح جایگاه‌یابی، خوشه-بندی داده‌ها با الگوریتم K-means می‌باشد. در این روش به تعداد خوشه-هایی که می‌خواهیم تشکیل دهیم، دانه تصادفی تعیین می‌کنیم. هر عضو از جمعیت به نزدیکترین دانه اختصاص می‌یابد. حال وقتی اعضاء هر خوشه مشخص شد دانه‌های هر خوشه به مرکز خوشه منتقل می‌شوند و این کار تا هنگامی که دانه‌ها تغییر حرکتی نداشته باشند تکرار می‌شود.



شکل (۱): الگوریتم جستجوی گرانشی [2]

۳- الگوریتم پیشنهادی (KGSA)

۳-۱- تولید خوشه‌های مناسب از جمعیت

در این پژوهش، از دو روش تصادفی و Partition [11] برای مقداردهی اولیه جمعیت استفاده می‌شود. خوشه نامناسب در فاز مقداردهی اولیه، خوشه‌ای است که یا تک عضوی یا تهی و یا در سایر مراحل الگوریتم تهی باشد. از این‌رو اگر خوشه‌ای نامناسب باشد اگر در فاز مقداردهی اولیه باشیم مدام مقداردهی اولیه را رد نموده و دوباره مقداردهی نموده و این اعضای جدید را توسط K-means خوشه‌بندی می‌نماییم تا بالاخره به هر خوشه تعداد اعضای مناسبی اختصاص یابد. ولی اگر در سایر مراحل الگوریتم باشیم، فقط خوشه-بندی را تکرار می‌نماییم تا اینکه هیچ کدام از خوشه‌ها تهی نباشند.

۳-۲- محاسبه جرم، نیرو، سرعت و ایجاد نسل بعدی

برای محاسبه جرم هر عضو از جمعیت، ابتدا همسایه‌های هر فرد از جمعیت مشخص می‌گردند. همسایه‌های هر فرد، افرادی از جمعیت هستند که در خوشه آن فرد قرار گرفته‌اند. در ادامه با استفاده از فرمول‌های (۱۱-۱۳) مقدار جرم برای هر عضو از جمعیت مشخص می‌شود و سپس طبق فرمول (۵)، مجموع برآیند نیروهای وارده به جرم i مشخص می‌گردد. نیروهای وارده به

موجب حرکت همه اجسام به سمت اجسام برآزنده‌تر می‌شود. سیستمی با N عامل را در نظر بگیرید. کل سیستم را با فرمول (۱) نمایش می‌دهیم. همچنین موقعیت و مکان ذره i ام به صورت فرمول (۲) تعریف می‌شود.

$$X = (X_1, X_2, \dots, X_i, \dots, X_N) \quad (1)$$

$$X_i = (x_i^1, x_i^2, \dots, x_i^d, \dots, x_i^n) \quad (2)$$

x_i^d موقعیت عامل i ام در بعد d ام برای عامل X_j است و n تعداد بعد فضای جستجو است. همچنین N همان تعداد عامل‌ها است. در زمان معین t ، نیروی اعمالی بر جرم i از سمت جرم j از فرمول (۳) محاسبه می‌شود.

$$F_{ij}^d = G(t) \frac{M_{pi}(t) \times M_{aj}(t)}{R_{ij}(t) + \epsilon} (x_j^d(t) - x_i^d(t)) \quad (3)$$

$$R_{ij}(t) = \|X_i(t), X_j(t)\| \quad (4)$$

جایی که M_{aj} جرم گرانشی فعال جرم M_{pi} ، جرم گرانشی غیر فعال جرم i ام، $G(t)$ ثابت گرانشی در زمان t ، ϵ ثابت کوچک و R_{ij} فاصله اقلیدسی بین دو عامل i و j می‌باشد که با فرمول (۴) نشان داده شده است. کل نیروی وارده شده به عامل i در بعد d از سوی K تا از بهترین عامل-ها از فرمول (۵) محاسبه می‌شود.

$$F_i^d(t) = \sum_{j \in K_{best}, j \neq i} rand_j F_{ij}^d \quad (5)$$

جایی که $rand_j$ عددی تصادفی در بازه $[0, 1]$ می‌باشد. K_{best} مجموعه‌ای از K عامل با بهترین مقدار برآزندگی و تابعی از زمان است که مقدار اولیه‌اش در شروع برابر K_0 و با گذشت زمان کاهش می‌یابد.

شتاب عامل i ام در زمان t بعد d ، از فرمول (۶) محاسبه می‌شود.

$$a_i^d(t) = \frac{F_i^d(t)}{M_{ii}(t)} \quad (6)$$

M_{ii} جرم اینرسی عامل i می‌باشد. همچنین سرعت و موقعیت عامل در زمان $t+1$ از فرمول‌های (۷ و ۸) محاسبه می‌شود.

$$v_i^d(t+1) = rand_i \times v_i^d(t) + a_i^d(t) \quad (7)$$

$$x_i^d(t+1) = x_i^d(t) + v_i^d(t) \quad (8)$$

جایی که $rand_i$ عددی تصادفی در بازه $[0, 1]$ است.

ثابت گرانشی G تابعی از زمان است که با مقدار اولیه G_0 شروع و برای کنترل دقت جستجو با گذشت زمان کاهش می‌یابد. از این رو مقدار G از فرمول‌های (۹ و ۱۰) محاسبه می‌شود.

$$G(t) = (G_0, t) \quad (9)$$

$$G(t) = G_0 e^{-\frac{\alpha t}{T}} \quad (10)$$

جایی که α و G_0 مقداری ثابت هستند و T نشان دهنده کل تکرارها می‌باشد. همچنین جرم‌های اینرسی و گرانشی با استفاده از فرمول‌های (۱۱-۱۳) به روز می‌شوند.

$$M_{ai} = M_{pi} = M_{ji} = M_i \quad i = 1, 2, \dots, N \quad (11)$$

$$m_i(t) = \frac{fit_i(t) - worst(t)}{best(t) - worst(t)} \quad (12)$$

$$M_i(t) = \frac{m_i(t)}{\sum_{j=1}^N m_j(t)} \quad (13)$$

در جایی که $fit_i(t)$ مقدار برآزندگی عامل i ام در زمان t نشان می‌دهد. $worst(t)$ و $best(t)$ برای مسأله ماکزیم‌سازی از فرمول‌های (۱۴ و ۱۵) محاسبه می‌شود.

$$best(t) = \max_{j \in \{1, \dots, N\}} fit_j(t) \quad (14)$$

$$worst(t) = \min_{j \in \{1, \dots, N\}} fit_j(t) \quad (15)$$

۴- نتایج آزمایشگاهی

۴-۱- توابع ارزیابی مقید و نامقید

در توابع نامقید^{۱۱} اگر دامنه این مسائل را قید ننماییم، راه‌حل‌ها از قانون خاصی تبعیت نمی‌کنند ولی در توابع مقید راه‌حل‌ها در چهارچوب خاصی می‌باشند. جدول (۱) توابع نامقید و جدول (۲) توابع مقید مورد استفاده در این پژوهش را نشان می‌دهد. دامنه این توابع مطابق [11] می‌باشد.

۴-۲- معیارهای ارزیابی الگوریتم‌های خوشه‌بندی

برای ارزیابی الگوریتم پیشنهادی از سه معیار نرخ موفقیت، تعداد ارزیابی مورد نیاز برای کشف بهینه‌ها و نرخ خطا استفاده گردیده است. در هر اجرا، اگر تمامی بهینه‌ها یافت شدند آن اجرا موفق، در غیر این-صورت آن اجرا ناموفق است. پیک وقتی یافت شده است که اختلاف مقدار برآزندگی از برآزندگی پیک واقعی از خطای قابل قبول بیشتر نباشد. نرخ موفقیت، حاصل تقسیم تعداد اجراهای موفق به تعداد کل اجراها می‌باشد. در هر نسلی اگر الگوریتم جایگاه‌ها را پیدا نموده باشد، از لحظه شروع الگوریتم تا آن لحظه که جایگاه‌ها پیدا شده‌اند، تعداد دفعاتی که تابع ارزیابی فراخوانی شده یعنی تعداد اعضای که برآزندگی‌شان محاسبه شده را برای هر اجرا محاسبه نموده و از آن در نهایت میانگین‌گیری می‌نماییم. اختلاف بهینه‌های اصلی مساله از بهینه‌های کشف شده، خطا نامیده می-شود و از فرمول (۱۶) محاسبه می‌گردد.

$$\zeta = \frac{1}{m_i} \sum_{i=1}^m \left(\sum_{j=1}^n (s_i^j - \varphi_i^j)^2 \right)^{\frac{1}{2}} \quad (16)$$

جایی که m تعداد بهینه‌ها و n تعداد ابعاد مساله است. همچنین s موقعیت بهینه پیدا شده توسط الگوریتم و φ موقعیت بهینه اصلی مساله است.

۴-۳- پارامترها و نتایج الگوریتم‌های دیگر

نتایج و پارامترهای سایر الگوریتم‌ها از جمله مقدار خطای قابل قبول ϵ از [7] و [11] قابل استخراج است. G_0 برابر ۰.۱ دامنه و α برابر ۸ است.

۴-۴- کشف بهینه‌ها

برای یافتن بهینه‌های عمومی در توابع نامقید، الگوریتم بر روی توابع F_1 تا F_{12} اجرا شده تا نتایج در جدول‌های (۱۲ و ۱۱) گزارش شود. در جدول (۷) پارامترهای مورد نیاز ارائه گردیده است. در این جدول تعداد حداکثر ارزیابی مجاز الگوریتم‌ها به جز الگوریتم پیشنهادی برای توابع F_1 تا F_{12} برابر ۱۰۰۰۰۰ می‌باشد.

برای کشف بهینه‌های عمومی و محلی در توابع نامقید، از جمعیت‌های با اندازه متفاوت استفاده شده و نتایج با دو نوع مقداردهی اولیه در جدول‌های (۳ و ۴) با الگوریتم NGSA مقایسه گردیده‌اند. همچنین در جدول (۵)، خطاهای الگوریتم پیشنهادی و الگوریتم NGSA برای نتایج به دست آمده در جدول‌های (۳ و ۴) و $N=20$ مقایسه گردیده‌اند. لازم به ذکر است در اینجا T_1 برای تمامی حالت‌ها برابر 15 در نظر گرفته شده است. برای بررسی بیشتر، الگوریتم پیشنهادی برای کشف بهینه‌های عمومی و محلی در توابع نامقید بر

یک عضو، فقط از سوی همسایگانش می‌باشد. البته برای تسریع بخشیدن به همگرایی، فقط نیروی ۷۰ درصد نفرات هر خوشه با اولویت برآزندگی به هر عضو آن خوشه وارد می‌شود تا اعضاء حرکت نمایند. می‌توان سرعت حرکت اعضاء را از فرمول (۷) محاسبه نمود. در اثر حرکت اعضاء، جمعیتی جدید ایجاد شده که با ترکیب با نسل قبلی و انتخاب برآزنده‌ترها نسل بعدی را تشکیل می‌دهند. نحوه انتخاب اعضای نسل آینده بر اساس [12] می‌باشد. اصلاح جمعیت در هر نسل طبق [12] برای توابع مقید^{۱۲} استفاده شده تا از ایجاد راه‌حل‌های ناممکن اجتناب شود.

۳-۳- loop in Loop و کشف بهینه‌ها

در روش loop in Loop، جمعیت به تعداد T_l تکرار، تکامل می‌یابد. بعد از پایان هر T_l جمعیت جدیدی را جایگزین می‌نماییم که مقداردهی اولیه می‌گردد. این نسل نیز T_l بار تکامل می‌یابد و نسل جدیدی دوباره ایجاد می‌گردد. این روال تکراری، آن قدر ادامه می‌یابد که تعداد کل تکرارها به پایان برسد و یا به تعداد ماکزیمم ارزیابی مجاز رسیده باشیم. از این پس به هر کدام از این قسمت‌ها یک loop و به جایگاه‌هایی که بعد از پایان هر loop پیدا می‌شوند جایگاه‌های بالقوه می‌گوییم. اگر هدف پیدا کردن فقط بهینه‌های سراسری باشد فقط آن اعضای برای روال انتخاب جایگاه‌های بالقوه، باقی می‌ماند که از مقدار ماکزیمم حداکثر فاصله مجاز را رعایت نموده باشند. البته این در صورتی است که تعداد جایگاه‌های باقیمانده از تعداد بهینه‌هایی که باید کشف شوند بیشتر باشد. چون اعضاء جمعیت بعد از هر loop به نزدیکی جایگاه‌های خود رسیده‌اند، نزدیک‌ترین فاصله بین دو عضو از جمعیت را پیدا نموده و هر کدام برآزندگی بهتری دارند باقی مانده و دیگری حذف می‌گردد. این روال تکرار می‌شود تا به تعداد جایگاه‌های برسیم که باید یافت شوند. اعضاء باقیمانده، همان جایگاه‌های بالقوه می‌باشند. در پایان هر T_l ، جایگاه‌های بالقوه به انبار جایگاه‌های بالقوه اضافه می‌گردند و همچنین بهترین برآزنده هر loop به همراه آن‌هایی که تا ۸۰ درصد برآزندگی بهتری فرد را دارند، به انبار برآزنده‌ها اضافه می‌شوند تا به همراه انبار جایگاه‌های بالقوه به عنوان کاندیدا برای ورود به loop بعدی آماده شوند. بعد از پایان هر loop جمعیت جدیدی مقداردهی اولیه شده و کاندیداها با نزدیک‌ترین عضو از جمعیت جدید به رقابت پرداخته و اگر دارای برآزندگی بهتری باشند جایگزین آن می‌شوند. به این صورت جمعیت اولیه برای loop بعدی شکل می‌گیرد. این روال تکراری با اثبات شدن کاندیداها برای loop‌های بعدی ادامه می‌یابد. لازم به ذکر است در عبور از یک نسل به نسل بعدی نیز جایگاه‌های هر نسل با مقایسه برآزندگی آن‌ها با نزدیکترین عضو از نسل بعد به نسل بعدی اضافه می‌گردند. جایگاه‌های بین هر نسل به انبار جایگاه‌های موقت اضافه گردیده و به عنوان کاندیداها برای ورود به نسل‌های بعدی به همراه انبار جایگاه‌ها آماده می‌شوند. در پایان هر T_l ، سرعت اعضاء صفر می‌شود و همچنین انبار موقت بین نسلی هم خالی می‌شود، چرا که در آن ممکن است جایگاه‌های مناسبی وجود نداشته باشند. در پایان برای کشف جایگاه‌های اصلی، بعد از اینکه loop‌ها به پایان رسیدند از میان جایگاه‌های بالقوه و لیست برآزنده‌ها به همان روشی که جایگاه‌های بالقوه یافت شدند جایگاه‌های اصلی را پیدا می‌نماییم.

در الگوریتم پیشنهاد شده، تعداد نسل‌های تولید شده ثابت و به تعداد T می‌باشد. اما برای الگوریتم K-means، شرط توقف موقعی است که مرکز خوشه‌ها دیگر تغییر نمی‌کند.

جدول (۲): توابع مقید

$$F_{13}(x) = 10n + \sum_{i=1}^n [x_i^2 - 10 \cos(2nx_i)]$$

$$\text{s.t. } h(x) = \sum_{i=1}^n x_i = 0$$

$$F_{14}(x) = \frac{1}{4000} \sum_{i=1}^n x_i^2 - \prod_{i=1}^n \cos\left(\frac{x_i}{\sqrt{i}}\right) + 1$$

$$\text{s.t. } h(x) = \frac{1}{512(n-1)} \sum_{i=2}^n x_i^2 - |x_1| = 0$$

$$F_{15}(x) = (x_1 + a_1)^2 + (x_2 + a_2)^2 + \dots + (x_n + a_n)^2$$

$$\text{s.t. } [(x_1 + b_1)^2 + \dots + (x_n + b_n)^2] \geq n^2,$$

$$-(n+1) \leq x_i \leq n+1$$

جدول (۳): نرخ موفقیت کشف بهینه‌های سراسری و محلی با ۱۲۰ بار تکرار و مقداردهی اولیه به روش تصادفی در ۳۰ بار اجرای مستقل

F	N=۷۵		N=۵۰		N=۳۵		N=۲۰	
	KG SA	NGS A	KG SA	NGS A	KGS A	NGS A	KG SA	NGS A
F ₁	۱۰۰	۱۰۰	۱۰۰	۱۰۰	۱۰۰	۹۳	۱۰۰	۸۰
F ₂	۱۰۰	۱۰۰	۱۰۰	۱۰۰	۱۰۰	۹۶	۱۰۰	۷۳
F ₃	۱۰۰	۱۰۰	۱۰۰	۱۰۰	۱۰۰	۸۶	۱۰۰	۷۳
F ₄	۱۰۰	۱۰۰	۱۰۰	۹۶	۱۰۰	۹۰	۱۰۰	۶۶
F ₅	۱۰۰	۱۰۰	۱۰۰	۱۰۰	۱۰۰	۹۶	۱۰۰	۷۶

جدول (۴): نرخ موفقیت کشف بهینه‌های سراسری و محلی با ۱۲۰ بار تکرار و مقداردهی اولیه به روش partition در ۳۰ بار اجرای مستقل

F	KG SA	NGS A	KGS A	NGS A	KGS A	NGS A	KGS A	NGS A
	F ₁	۱۰۰	۱۰۰	۱۰۰	۱۰۰	۱۰۰	۱۰۰	۱۰۰
F ₂	۱۰۰	۱۰۰	۱۰۰	۱۰۰	۱۰۰	۱۰۰	۱۰۰	۱۰۰
F ₃	۱۰۰	۱۰۰	۱۰۰	۱۰۰	۱۰۰	۱۰۰	۱۰۰	۱۰۰
F ₄	۱۰۰	۱۰۰	۱۰۰	۱۰۰	۱۰۰	۱۰۰	۱۰۰	۱۰۰
F ₅	۱۰۰	۱۰۰	۱۰۰	۱۰۰	۱۰۰	۱۰۰	۱۰۰	۱۰۰

جدول (۵): نرخ خطا برای نتایج جدول‌های (۳ و ۴) با N=20

F	KGSA ζ random		KGSA ζ partition		NGSA ζ partition	
	F ₁	۱.۷۰e-۶ ± ۱.۰۳e-۶	۱.۷۸e-۶ ± ۹.۴۱e-۷	۱.۶۲e-۵ ± ۳.۴۷e-۵		
F ₂	۴.۹۶e-۷ ± ۱.۵۴e-۶	۲.۷۰e-۷ ± ۲.۹۴e-۷	۰.۰۰۱ ± ۱.۶۶e-۴			
F ₃	۲.۴۱e-۶ ± ۲.۱۲e-۶	۲.۳۰e-۶ ± ۱.۲۹e-۶	۰.۰۰۱۲ ± ۵.۰۴e-۴			
F ₄	۶.۸۷e-۷ ± ۱.۹۸e-۶	۵.۳۴e-۷ ± ۶.۸۱e-۷	۲.۳۷e-۴ ± ۳.۳۸e-۴			
F ₅	۳.۵۹e-۳ ± ۲.۱۳e-۳	۴.۲۹e-۳ ± ۴.۲۲e-۳	۰.۰۵۷ ± ۰.۰۲۶			

جدول (۶): نرخ موفقیت در ۳۰ اجرای مستقل

F	KGSA	DC	SN	Niche PSO	NGSA
F ₁	۱۰۰	۱۰۰	۱۰۰	۱۰۰	۱۰۰
F ₂	۱۰۰	۹۳	۸۳	۹۳	۱۰۰
F ₃	۱۰۰	۹۰	۱۰۰	۱۰۰	۱۰۰
F ₄	۱۰۰	۹۰	۹۳	۹۳	۱۰۰
F ₅	۱۰۰	۹۰	۸۶	۱۰۰	۱۰۰

جدول (۷): پارامترهای مورد نیاز برای جدول‌های (۱ و ۱۲)

F	F ₁	F ₂	F ₃	F ₄	F ₅	F ₆	F ₇	F ₈	F ₉	F ₁₀	F ₁₁	F ₁₂
N KGSA	۱۰	۱۰	۲۰	۱۰	۲۰	۱۰	۸	۳۰	۱۵	۴۰	۱۰۰	۵۰۰
ME KGSA	۸۰۰	۶۰۰	۸۰۰	۷۵۰	۲۴۰۰	۱۸۰۰	۱۲۸۰	۳۶۰۰	۱۳۵۰	۱۰۰۰	۶۰۰۰	۹۰۰۰۰
T _i	۲۰	۱۵	۱۰	۱۵	۲۰	۹۰	۸۰	۶۰	۳۰	۵۰	۶۰	۴۵
N NGSA	۵۰	۵۰	۵۰	۵۰	۵۰	۱۰۰	۱۰۰	۱۰۰	۱۰۰	۵۰۰	۲۵۰	۱۰۰

روی توابع F₁ تا F₅ با پارامترهای جدول (۱۰) اجرا گردیده تا این نتایج در جدول‌های (۱۴ تا ۱۶) نشان داده شوند. همچنین توابع F₆ تا F₁₀ با پارامترهای جدول (۸) برای الگوریتم پیشنهادی و برای الگوریتم‌های دیگر با پارامترهای جدول (۷) و حداکثر ۱۰۰۰۰۰ ارزیابی اجرا شده و نتایج در جدول (۱۳) با الگوریتم NGSA مقایسه گردیده است.

الگوریتم پیشنهادی برای کشف بهینه‌های سراسری در توابع مقید، با پارامترهای جدول (۹) اجرا شده تا نتایج جدول (۱۵) شکل گیرد. در جدول‌ها حداکثر ارزیابی مجاز با ME و توابع با F نماد شده‌اند.

۵- نتیجه گیری

الگوریتم KGSA با حذف پارامترهای k_f و k_i از الگوریتم NGSA و همچنین حذف پارامتر شعاع جایگاه از سایر الگوریتم‌ها به نتایج بهتری از آن‌ها دست پیدا نموده است. اهمیت حذف پارامترها در NGSA به حدی است که با کمترین اختلافی در تنظیم پارامترها، برخی جایگاه‌ها پیدا نشده و یا جایگاه‌های اضافی دیگری یافت می‌شوند. علاوه بر حذف پارامترهای مهم، تاثیر نوع مقداردهی اولیه نیز کاهش یافته است و از همه مهم‌تر، کارا بودن ۱۰۰ درصدی آن برای کشف جایگاه‌ها و همچنین خطای کمتر و ارزیابی کمتر با جمعیت کمتر در برخورد با مسائل بهینه‌سازی چندمدی است. با توجه به ظهور تازه الگوریتم جستجوی گرانشی زمینه دارویی، نظامی و اقتصادی، از جمله زمینه‌هایی است که از آن می‌توان به عنوان کارهای آینده نام برد.

جدول (۱): توابع نامقید

F	Equation
F ₁	$F_1(x) = \sin^6(5\pi x)$
F ₂	$F_2(x) = e^{-2 \log(2) \times \left(\frac{x-0.1}{0.8}\right)^2} \sin^6(5\pi x)$
F ₃	$F_3(x) = \sin^6\left(5\pi\left(x^4 - 0.05\right)\right)$
F ₄	$F_4(x) = e^{-2 \log(2) \times \left(\frac{x-0.08}{0.854}\right)^2} \sin^6\left(5\pi\left(x^4 - 0.05\right)\right)$
F ₅	$F_5(x_1, x_2) = 200 - (x_1^2 + x_2 - 11)^2 - (x_1 + x_2^2 - 7)^2$
F ₆	$F_6(x) = \begin{cases} \frac{160}{15}(15-x) & \text{for } 0 \leq x \leq 15 \\ \frac{200}{5}(x-15) & \text{for } 15 \leq x \leq 20 \end{cases}$
F ₇	$F_7(x) = \begin{cases} \frac{160}{10}x & \text{for } 0 \leq x \leq 10 \\ \frac{160}{5}(15-x) & \text{for } 10 \leq x \leq 15 \\ \frac{200}{5}(x-15) & \text{for } 15 \leq x \leq 20 \end{cases}$
F ₈	$F_8(x) = \begin{cases} 80(2.5-x) & \text{for } 0.0 \leq x \leq 2.5 \\ 64(x-2.5) & \text{for } 2.5 \leq x \leq 5.0 \\ 64(7.5-x) & \text{for } 5.0 \leq x \leq 7.5 \\ 28(x-7.5) & \text{for } 7.5 \leq x \leq 12.5 \\ 28(17.5-x) & \text{for } 12.5 \leq x \leq 17.5 \\ 32(x-17.5) & \text{for } 17.5 \leq x \leq 22.5 \\ 32(27.5-x) & \text{for } 22.5 \leq x \leq 27.5 \\ 80(x-27.5) & \text{for } 27.5 \leq x \leq 30 \end{cases}$
F ₉	$F_9(x_1, x_2) = -4 \left[\left(4 - 2.1x_1^2 + \frac{x_1^4}{3}\right)x_1^2 + x_1x_2 + (-4 + 4x_2^2)x_2^2 \right]$
F ₁₀	$F_{10}(x_1, x_2) = 500 - \frac{1}{0.002 + \sum_{i=0}^{24} \frac{1}{1+i+(x_1-a(i))^6+(x_2-b(i))^6}}$ where a(i) = 16((i mod 5) - 2), and b(i) = 16([i/5] - 2)
F ₁₁	$F_{11}(x) = -\prod_{i=1}^n \sum_{j=1}^5 j \times \cos((j+1)x_i + j)$
F ₁₂	$F_{12}(x) = \frac{1}{n} \sum_{i=1}^n \sin(10 \times \log(x_i))$

جدول (۱۰): پارامترهای مورد نیاز جدول‌های (۱۵ و ۱۶)

F	F ₁	F ₂	F ₃	F ₄	F ₅
N KGSA	۱۰	۱۰	۲۰	۱۰	۲۰
T KGSA	۸۰	۶۰	۴۰	۷۵	۱۲۰
T _l	۲۰	۱۵	۱۰	۱۵	۲۰
N NGSA	۲۰	۲۰	۲۰	۲۰	۲۰
T NGSA	۲۰۰۰	۲۰۰۰	۲۰۰۰	۲۰۰۰	۲۰۰۰

جدول (۸): پارامترهای مورد نیاز KGSA و جدول (۱۳)

F	F ₆	F ₇	F ₈	F ₉	F ₁₀
N	۱۵	۸	۳۰	۱۵	۸۰
ME	۲۷۰۰	۵۶۰۰	۳۶۰۰	۵۲۵۰	۲۰۰۰۰
T _l	۹۰	۷۰	۶۰	۵۰	۵۰

جدول (۹): پارامترهای مورد نیاز برای جدول (۱۴)

F	KGSA			NGSA		
	F ₁₃	F ₁₄	F ₁₅	F ₁₃	F ₁₄	F ₁₅
N	۱۰	۴۰	۲۵	۳۰۰	۲۰۰	۲۰۰
T	۸۰	۱۰۰	۴۵	۲۰۰	۱۰۰	۱۰۰
T _l	۴۰	۵۰	۴۵	-	-	-

جدول (۱۱): نرخ موفقیت برای یافتن بهینه‌های سراسری در ۵۰ بار اجرای مستقل

F	KGSA	NGSA	r2 PSO	r3 PSO	r2 PSO -lhc	r2 PSO -lhc	FER-PSO	SPSO
F ₁	۱۰۰	۱۰۰	۱۰۰	۱۰۰	۱۰۰	۱۰۰	۱۰۰	۱۰۰
F ₂	۱۰۰	۱۰۰	۹۸	۱۰۰	۱۰۰	۱۰۰	۱۰۰	۱۰۰
F ₃	۱۰۰	۱۰۰	۹۸	۹۸	۱۰۰	۱۰۰	۱۰۰	۱۰۰
F ₄	۱۰۰	۱۰۰	۱۰۰	۱۰۰	۱۰۰	۱۰۰	۱۰۰	۱۰۰
F ₅	۱۰۰	۱۰۰	۹۲	۷۴	۱۰۰	۹۸	۹۸	۱۰۰
F ₆	۱۰۰	۱۰۰	۹۸	۱۰۰	۹۴	۷۸	۸۸	۲۴
F ₇	۱۰۰	۱۰۰	۱۰۰	۹۶	۹۸	۸۸	۱۰۰	۲۲
F ₈	۱۰۰	۹۴	۱۰۰	۹۶	۹۶	۹۶	۹۸	۴۰
F ₉	۱۰۰	۱۰۰	۱۰۰	۱۰۰	۱۰۰	۱۰۰	۱۰۰	۱۰۰
F ₁₀	۱۰۰	۱۰۰	۱۰۰	۱۰۰	۷۲	۷۸	۱۰۰	۵۰
F ₁₁ (2D)	۱۰۰	۱۰۰	۹۰	۹۸	۹۸	۱۰۰	۵۶	۴۹
F ₁₂ (1D)	۱۰۰	۹۲	۹۴	۸۶	۹۲	۹۰	۸۸	۸۴

جدول (۱۲): تعداد ارزیابی مورد نیاز الگوریتم‌های مختلف برای نتایج ارائه شده در جدول (۱۱)

F	KGSA	NGSA	r2 PSO	r3 PSO	r2 PSO -lhc	r2 PSO -lhc	FER-PSO	SPSO
F ₁	۲۱۴±۱۳۳	۲۶۳±۸۹	۳۷۶±۳۰	۴۳۳±۵۱	۳۹۶±۵۱	۴۴۷±۵۲	۲۸۴±۲۹	۳۵۵±۳۰
F ₂	۱۰۵±۱۰۸	۳۰۰±۱۰۷	۲۱۲۰±۱۹۹۹	۱۴۱±۱۱	۱۴۳±۱۴	۱۴۴±۱۳	۱۷۰±۱۲	۱۲۷±۹
F ₃	۲۶۳±۱۴۰	۳۳۴±۸۱	۲۴۳۰±۱۹۹۴	۲۴۴۰±۱۹۹۴	۴۵۶±۳۳	۶۲۳±۲۷۳	۳۱۷±۳۱	۳۴۳±۲۳
F ₄	۱۳۰±۱۲۴	۳۱۶±۷۶	۱۷۵±۱۷	۱۶۰±۲۰	۱۷۸±۱۸	۱۶۲±۱۶	۱۸۹±۲۰	۱۴۴±۱۳
F ₅	۸۶۴±۳۸۲	۱۶۳۲±۳۳۰	۷۸۷۰±۲۸۹۱	۲۱۴۰±۵۴۶۷	۱۴۹۰±۱۳۸	۷۳۸۰±۳۳۴۷	۵۰۷۰±۱۹۴۵	۱۲۵۰±۴۵
F ₆	۳۰۴±۱۱۰	۴۷۷±۴۰۹	۳۴۶۰±۱۹۷	۲۶۲۰±۸۷۴	۷۳۹۰±۳۳۴۰	۲۳۲۰±۵۸۳۴	۱۴۴۰±۴۵۳۵	۷۷۲۰±۵۸۵۹
F ₇	۲۹۰±۱۳۰	۲۳۴±۱۰۸	۲۹۶۰±۱۵۲۰	۵۳۴۰±۲۷۶۴	۴۳۴۰±۲۲۲۹	۱۳۱۰±۴۵۸۸	۲۱۱۰±۲۲۷	۷۸۳۰±۵۸۵۶
F ₈	۵۵۷±۳۴۶	۶۹۴±۸۵۳	۹۷۸±۱۸۶	۴۶۵۰±۲۷۸۴	۴۷۱۰±۲۷۸۳	۶۷۳۰±۳۰۸۸	۲۶۶۰±۱۹۹۲	۶۳۳۰±۶۷۷۳
F ₉	۲۳۰±۱۲۱	۱۰۳۲±۸۹۲	۶۱۹±۲۴	۶۸۴±۳۰	۶۱۸±۳۰	۶۵۰±۲۵	۹۶۵±۵۳	۶۵۳±۲۲
F ₁₀	۳۱۱۹±۲۱۷۲	۴۱۶۴±۱۷۶۸	۴۳۶۰±۵۵۹	۵۳۱۰±۴۵۳	۲۹۷۰±۶۲۷۷	۲۴۸۰±۵۷۳۸	۳۴۷۰±۳۳۶	۴۲۸۰±۶۹۶۸
F ₁₁ (2D)	۳۳۳۴۴±۸۰۹۹	۵۳۶۹±۱۹۳۰	۵۵۹۰۰±۲۶۷۶	۳۹۱۰۰±۱۶۴۸	۳۷۸۰۰±۱۴۸۰	۳۳۴۰۰±۵۸۱	۹۶۹۰۰±۱۲۶۱	۶۱۶۰۰±۴۴۶۳
F ₁₂ (1D)	۱۲۶۸۰±۱۸۱۷۵	۲۱۳۴±۴۳۰	۸۳۱۰±۳۳۷۱	۱۵۴۰۰±۴۹۰۶	۹۶۰۰±۳۸۲۴	۱۲۷۰۰±۴۳۴۴	۱۳۰۰۰±۴۶۰۱	۱۷۰۰۰±۵۱۶۲

جدول (۱۳): مقایسه KGSA و NGSA برای کشف همه بهینه‌های محلی و عمومی در ۵۰ بار اجرای مستقل

Function	KGSA			NGSA		
	تعداد ارزیابی	ξ	نرخ موفقیت	تعداد ارزیابی	ξ	نرخ موفقیت
F ₆	۴۱۳ ± ۱۱۳	۱.۰۲e - ۴ ± ۱.۳۸e - ۴	۱۰۰	۵۴۲ ± ۳۸۶	۴.۲۷e - ۴ ± ۴.۱۸e - ۴	۱۰۰
F ₇	۲۶۷ ± ۱۲۸	۵.۱۲e - ۶ ± ۵.۶۶e - ۶	۱۰۰	۳۲۱ ± ۱۱۸	۷.۴۴e - ۶ ± ۶.۰۱e - ۶	۱۰۰
F ₈	۸۷۳ ± ۷۲۱	۶.۵۱e - ۵ ± ۲.۰۸e - ۴	۱۰۰	۹۶۶ ± ۷۶۵	۲.۱۹e - ۳ ± ۱.۳۷e - ۲	۹۴
F ₉	۱۰۹۷ ± ۸۵۶	۷.۲۹e - ۵ ± ۱.۸۸e - ۴	۱۰۰	۱۱۲۲ ± ۳۵۳	۱.۵۰e - ۳ ± ۳.۳۳e - ۲	۹۸
F ₁₀	۱۱۳۱۸ ± ۲۸۶۱	۴.۵۱e - ۲ ± ۶.۷۳e - ۳	۱۰۰	۶۱۸۶ ± ۲۱۳۳	۹.۶۶e - ۴ ± ۱.۱۸e - ۳	۱۰۰

جدول (۱۴): تعداد ارزیابی لازم برای نتایج به دست آمده در جدول (۶)

F	KGSA	DC	SN	Niche PSO	NGSA
F ₁	۲۰۸ ± ۱۱۵	۱۴۶۴۷ ± ۴۶۱۲	۴۱۰۲ ± ۵۷۷	۲۳۷۲ ± ۱۰۹	۱۷۸۶ ± ۲۰۴
F ₂	۲۱۱ ± ۱۰۳	۱۳۰۵۲ ± ۲۵۰۷	۳۵۰۵ ± ۴۶۳	۲۹۳۴ ± ۴۷۵	۱۸۹۲ ± ۵۶۱
F ₃	۲۸۶ ± ۱۳۶	۱۳۹۳۰ ± ۳۲۸۴	۴۱۴۱ ± ۵۵۴	۲۴۰۴ ± ۱۹۵	۱۷۵۲ ± ۲۷۳
F ₄	۲۷۲ ± ۱۴۹	۱۳۹۲۹ ± ۲۹۹۶	۳۴۶۴ ± ۲۸۷	۲۸۲۰ ± ۵۱۷	۱۸۰۶ ± ۳۰۷
F ₅	۸۹۷ ± ۴۴۶	۱۴۲۹۶ ± ۳۴۰۸	۳۴۲۳ ± ۴۰۲	۲۱۵۱ ± ۲۰۰	۲۰۲۳ ± ۲۰۱



جدول (۱۵) : نرخ موفقیت، نرخ خطا و تعداد ارزیابی مورد نیاز برای یافتن بهینه‌های سراسری در ۵۰ بار اجرای مستقل

F	ζ	تعداد ارزیابی	نرخ موفقیت (%)	روش
F ₁₃	$۳.۱۵۸۶e - ۰۴ \pm ۰.۰۰۸۰$	۵۱۰ ± ۴۳۸.۱۰۸۲	۱۰۰	r2PSO
	$۶.۳۴۲۵e - ۰۴ \pm ۰.۰۱۰۵$	۵۴۶ ± ۳۹۶.۰۰۵۶	۱۰۰	r3PSO
	$۵.۵۲۵۶e - ۰۴ \pm ۰.۰۰۶۷$	۴۷۴ ± ۳۸۳.۷۵۶۹	۱۰۰	r2PSO-lhc
	$۱.۲۶۱۹e - ۰۳ \pm ۰.۰۰۸۳$	۴۵۰ ± ۲۹۲.۲۴۹۸	۱۰۰	r3PSO-lhc
	$۴.۳۷۱۷e - ۰۴ \pm ۰.۰۱۰۳$	۱۰۹۸ ± ۶۶۲.۸۶۰۲	۱۰۰	Deterministic crowding
	$۳.۱۲۵۵e - ۰۴ \pm ۰.۰۱۰۷$	۷۸ ± ۱۴۶.۰۹۱۹	۱۰۰	NGSA
	$۶.۰۴e - ۰۵ \pm ۰.۶۷e - ۰۵$	۹۲ ± ۴۳	۱۰۰	KGSA
F ₁₄	$۲.۳۳۱۳e - ۰۲ \pm ۲.۲۵۲۲$	۲۳۹۶ ± ۰.۱۴۶۹	۱۰۰	r2PSO
	$۷.۱۵۳۱e - ۰۳ \pm ۰.۹۸۳۵$	۲۰۹۲ ± ۰.۵۰۵۰	۱۰۰	r3PSO
	$۸.۹۰۴۷e - ۰۳ \pm ۱.۸۳۱۴$	۲۴۷۶ ± ۰.۵۱۲۳	۱۰۰	r2PSO-lhc
	$۱.۳۱۱۶e - ۰۲ \pm ۲.۱۰۶۵$	۲۲۳۲ ± ۰.۵۵۳۹	۱۰۰	r3PSO-lhc
	$۱.۶۹۰۲e - ۰۲ \pm ۰.۴۹۵۶$	۲۱۵۵۲ ± ۱.۰۰۵۶	۱۰۰	Deterministic crowding
	$۱.۹۶۷۲e - ۰۲ \pm ۰.۳۷۹۰$	$۱۹۴۴ \pm ۱.۲۹۴۴e + ۰۳$	۱۰۰	NGSA
	$۰.۷۹e - ۰۳ \pm ۰.۰۴۰۹۸$	۱۳۹۵ ± ۰.۵۸۷	۱۰۰	KGSA
F ₁₅	۰.۳۹۶۶ ± ۰.۲۳۵۲	۷۸۸ ± ۰.۰۸۴۹	۱۰۰	r2PSO
	۰.۳۸۱ ± ۰.۱۹۹۷	۷۹۲ ± ۰.۰۸۴۹	۱۰۰	r3PSO
	$۴.۹۸۳۲e - ۰۳ \pm ۰.۲۰۸۱$	۸۱۲ ± ۰.۰۳۹۶	۱۰۰	r2PSO-lhc
	۰.۳۲۳۷ ± ۰.۱۸۷۳	۷۹۶ ± ۰.۰۴۸۰	۱۰۰	r3PSO-lhc
	$۶.۲۵۷۱e - ۰۴ \pm ۰.۰۵۵۲$	۶۶۷۲ ± ۰.۰۲۸۳	۱۰۰	Deterministic crowding
	$۵.۰۲۶۲e - ۰۴ \pm ۰.۰۲۰۳$	۳۱۱۶ ± ۱.۰۱۳۵	۱۰۰	NGSA
	$۳.۳۷e - ۰۴ \pm ۶.۳۷e - ۰۴$	۴۸۰ ± ۱۰۳	۱۰۰	KGSA

مراجع

- [10] Beasley, D., Bull, D. R., Martin, R. R., "A sequential niche technique for multimodal function optimization. *Evolutionary computation*", Vol 1, No 2, pp 101-125, 1993.
- [11] Yazdani, S., Nezamabadi-pour, H., Kamyab, S., "A Gravitational Search Algorithm for Multimodal Optimization", *Swarm and Evolutionary Computation*, pp. 1-14, 2013.
- [12] Kimura, S., Matsumura, K., "Constrained multimodal function optimization using a simple evolutionary algorithm", In *Evolutionary Computation (CEC), 2011 IEEE Congress on*, pp. 447-454, 2011.
- [1] Rashedi, E., Nezamabadi-Pour, H., Saryazdi, S., "BGSA: binary gravitational search algorithm", *Natural Computing*, Vol. 9, No. 3, pp. 727-745, 2010.
- [2] Rashedi, E., Nezamabadi-Pour, H., Saryazdi, S., "GSA: a gravitational search algorithm", *Information sciences*, Vol 179, No 13, pp 2232-2248, 2009.
- [3] Brits, R., *Niching strategies for particle swarm optimization*, PhD diss., University of Pretoria, 2002.
- [4] Streichert, F., Stein, G., Ulmer, H., Zell, A., "A clustering based niching method for evolutionary algorithms", In *Genetic and Evolutionary Computation—GECCO*, pp. 644-645, 2003.
- [5] Li, X., "Adaptively choosing neighbourhood bests using species in a particle swarm optimizer for multimodal function optimization", In *Genetic and Evolutionary Computation—GECCO*, pp. 105-116, 2004.
- [6] Seo, J. H., Im, C. H., Heo, C. G., Kim, J. K., Jung, H. K., Lee, C.-G., "Multimodal function optimization based on particle swarm optimization", *Magnetics, IEEE Transactions*, Vol. 42, No. 4, pp. 1095-1098, 2006.
- [7] Li, X., "Niching without niching parameters: particle swarm optimization using a ring topology," *Evolutionary Computation, IEEE Transactions*, Vol. 14, No. 1, pp. 150-169, 2010.
- [8] Li, X., "Multimodal function optimization based on fitness-euclidean distance ratio", In *Proc. Genet. Evol. Comput. Conf*, pp. 78-85, 2007.
- [9] Das, S., Maity, S., Qu, B., Ponnuthurai, N. S., "Real-parameter evolutionary multimodal optimization—A survey of the state-of-the-art", *Swarm and Evolutionary Computation*, Vol. 1, No. 2, pp. 71-88, 2011

زیر نویس ها

- ¹ Multimodal
² Unimodal
³ Niching
⁴ Gravitational search algorithm
⁵ Elitism
⁶ Iteration
⁷ Clustering
⁸ K-means GSA
⁹ Constraint
¹⁰ Unconstraint